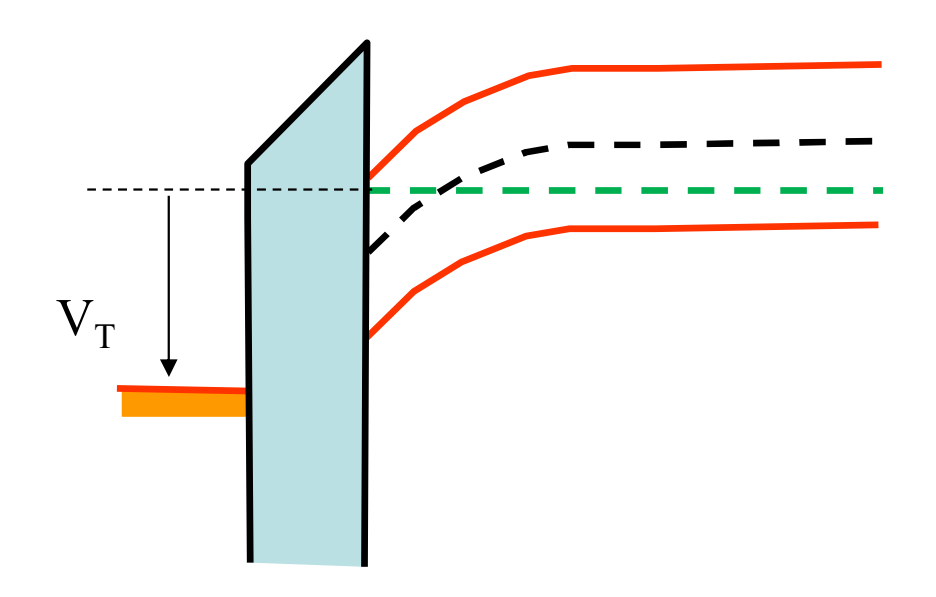
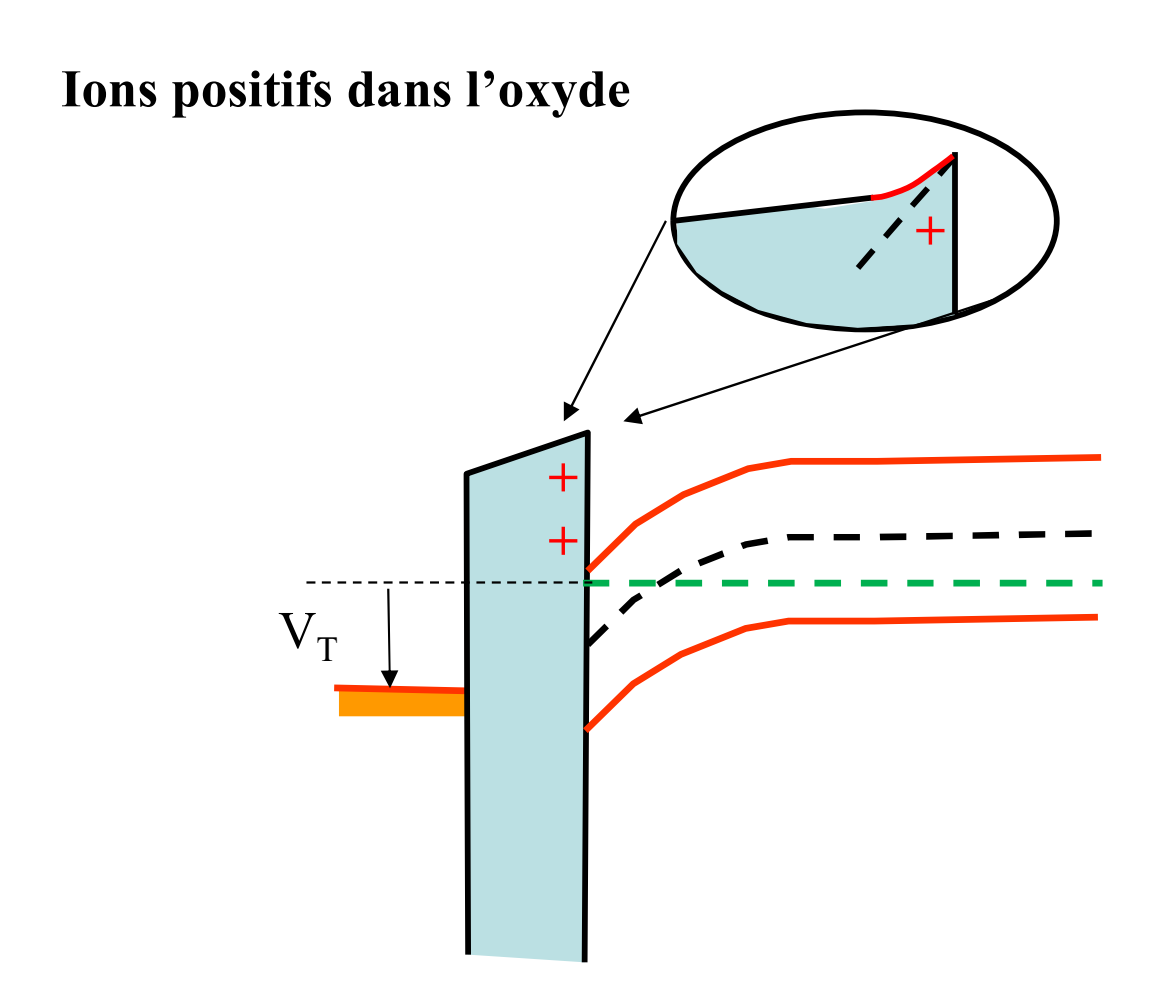


Après introduction de charges fixes positives à l'interface:

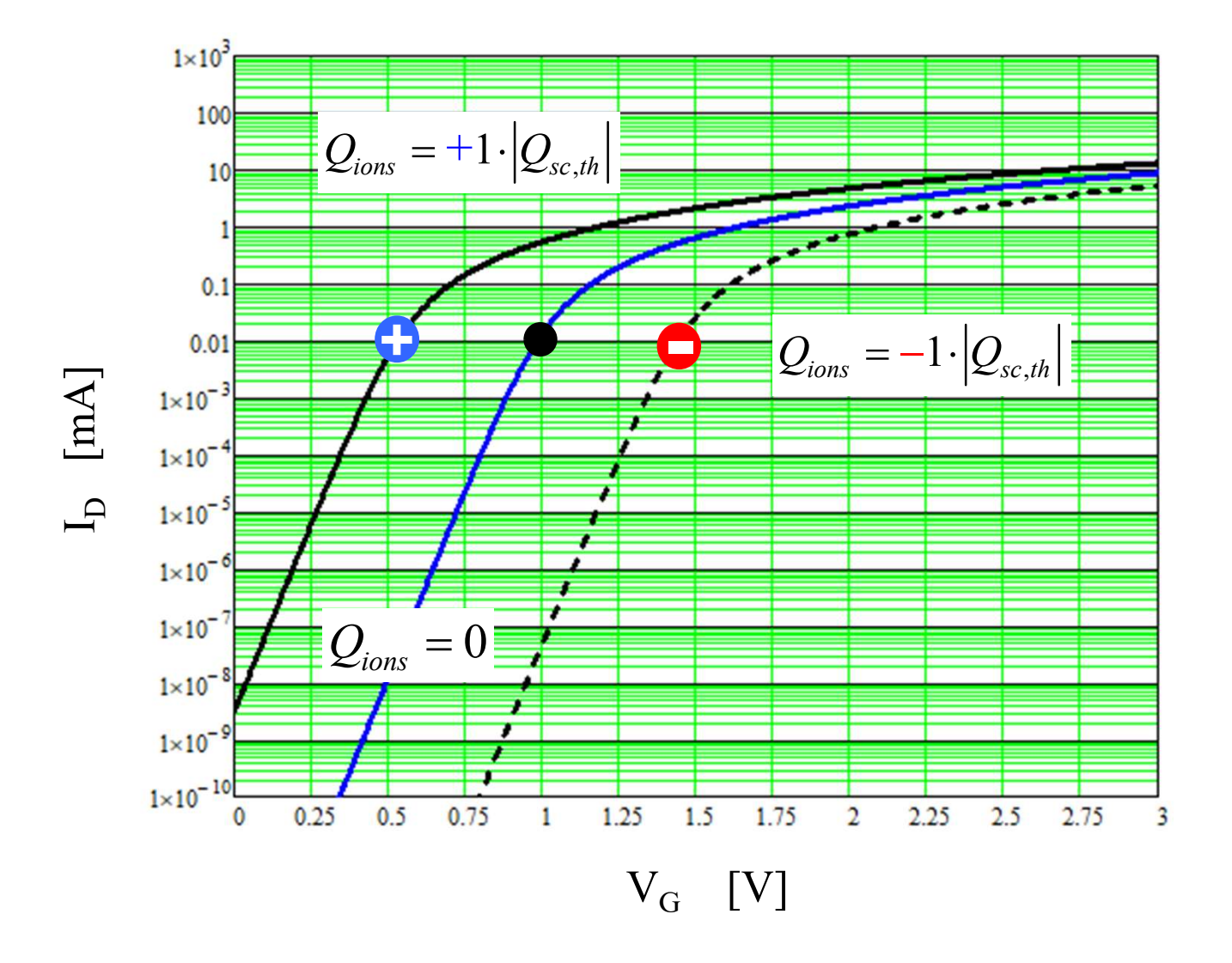
	Augmente	Diminue	Reste fixe
Potentiel de surface $\psi_S$			<b>&gt;</b>
Charges d'espace dans la zone de déplétion			$\rightarrow$
Champ électrique dans l'oxyde			
Charges dans le métal		<b>&gt;</b>	
Tension électrique sur le métal (Tension de threshold $V_T$ )		<b>&gt;</b>	

## Situation de depart sans ion dans l'oxyde





Réduction du threshold



 $V_T = V_{T0} - \frac{Q_{ion}}{C_{ox}}$ 

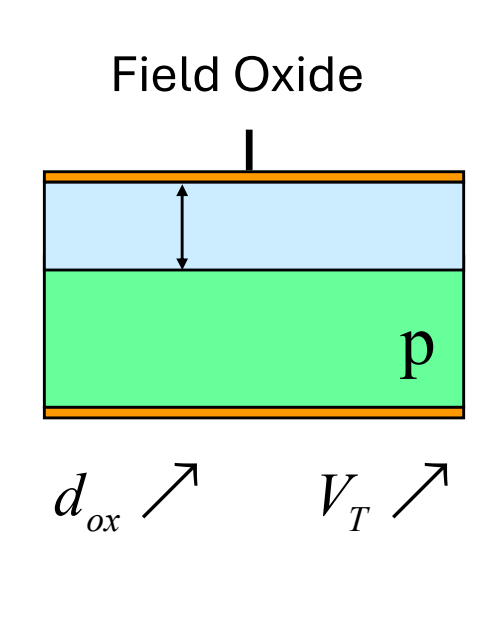
$$N_A=10^{17} \text{ cm}^{-3}$$

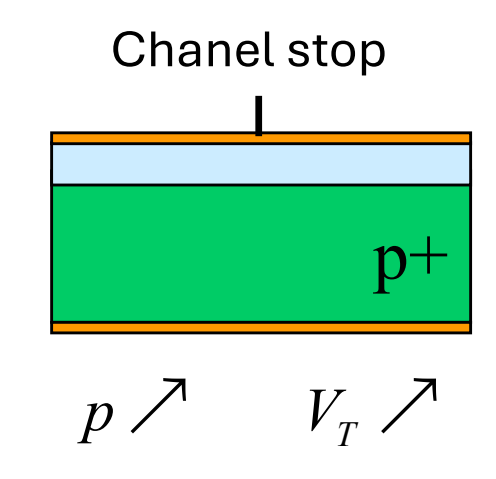
$$\varepsilon_{ox}=4$$

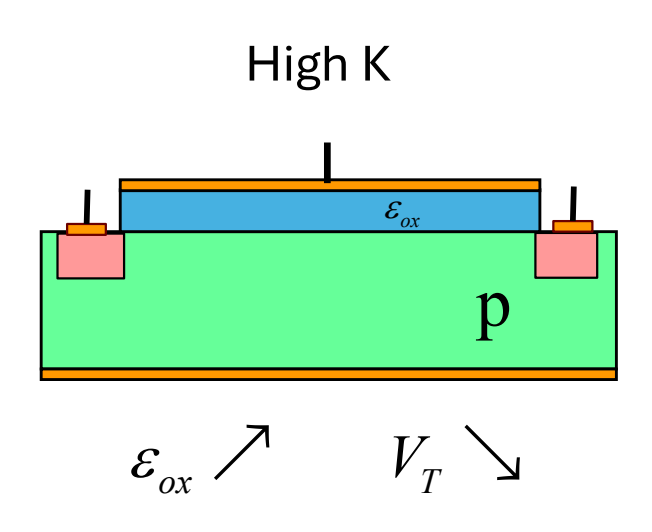
$$d_{ox}=10 \text{ nm}$$

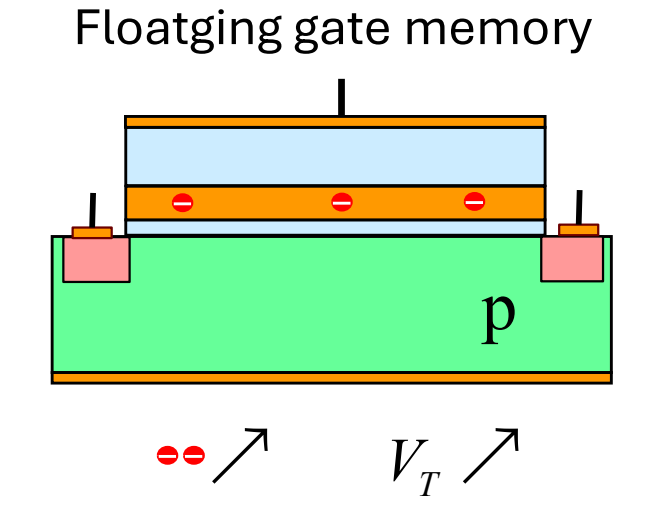
$$|Q_{sc,th}|=1.6\cdot10^{-15} \left[C/um^2\right]$$

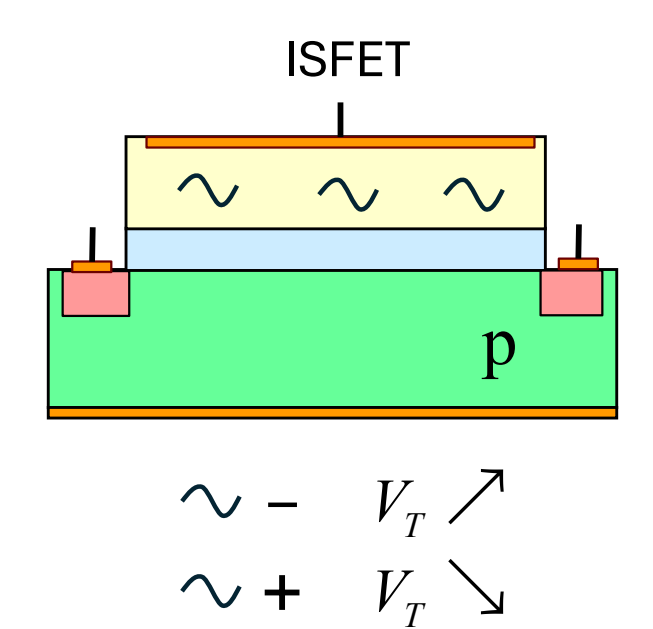
n = 1.27 dans les trois cas

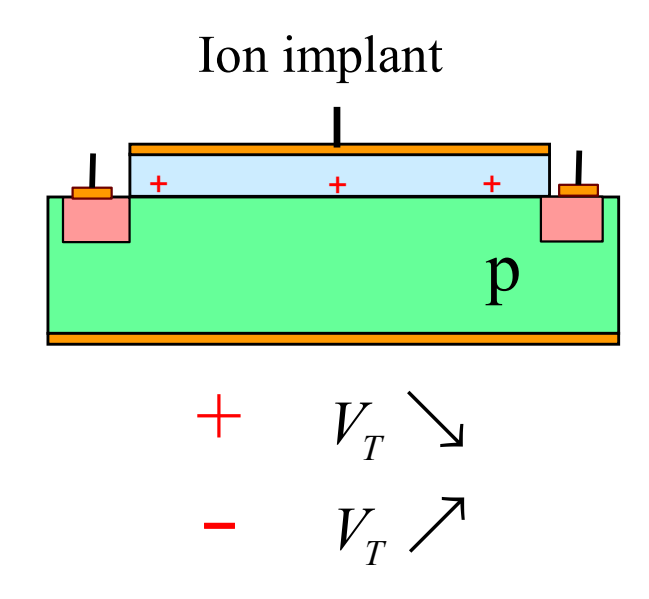


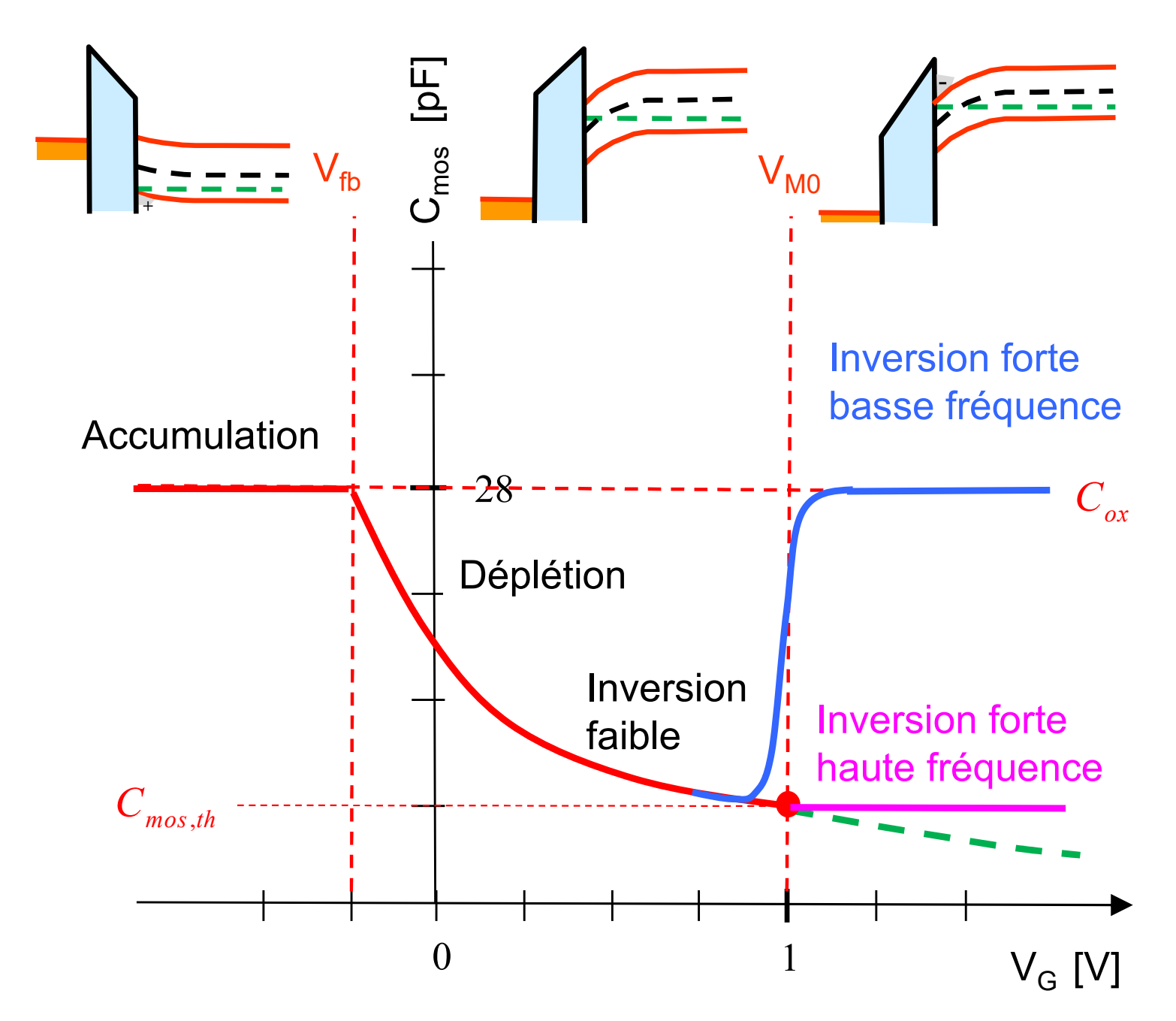










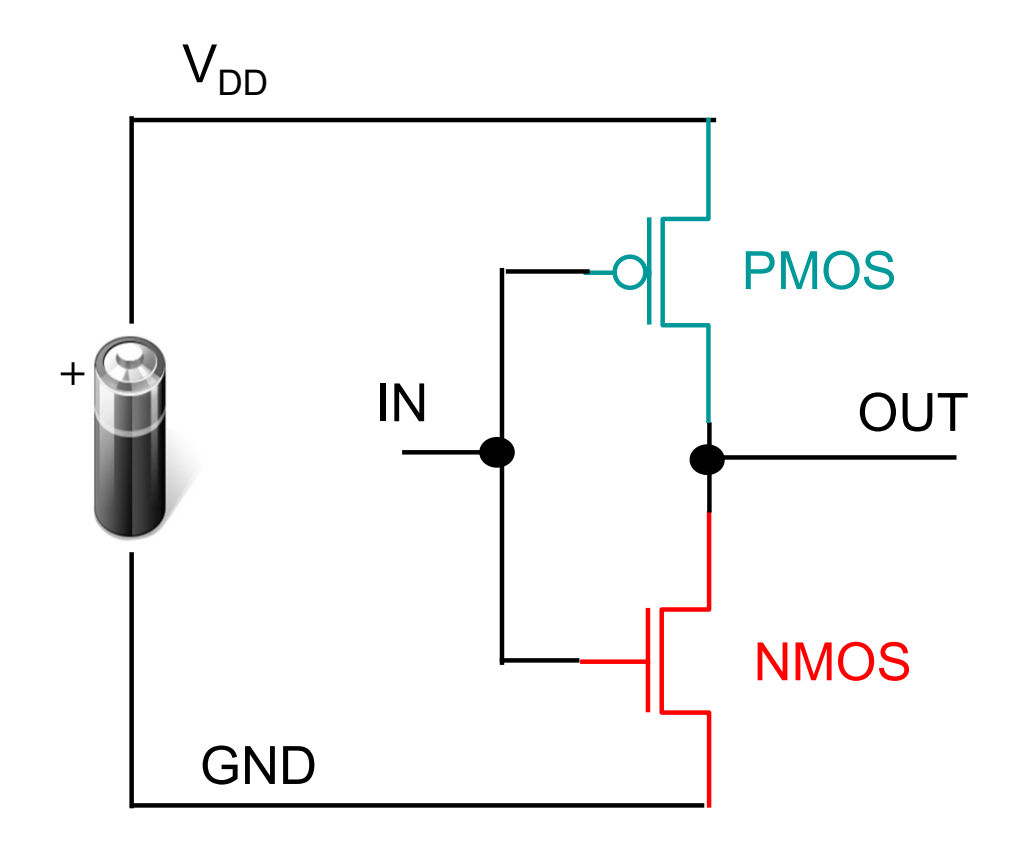


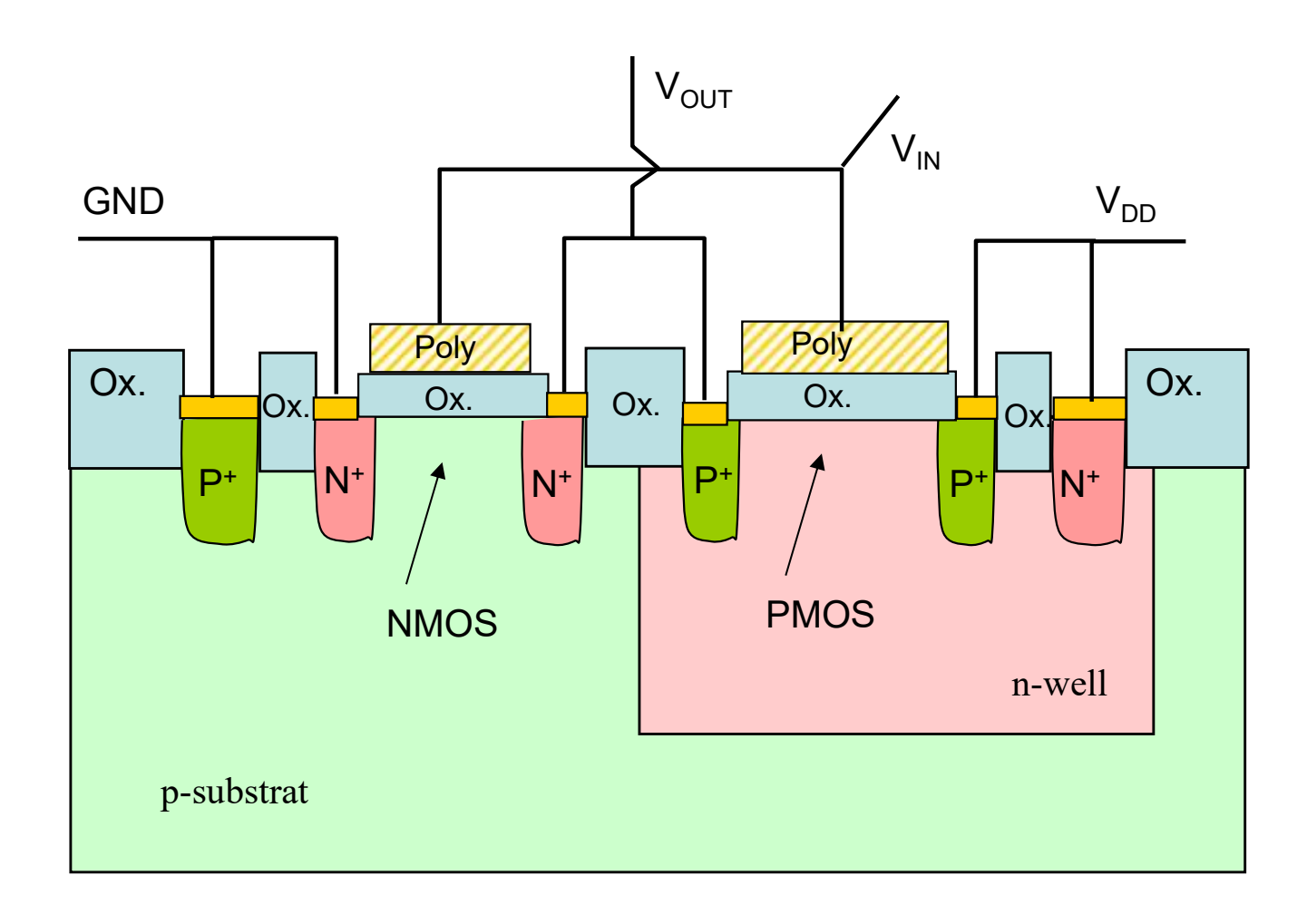
#### Déplétion profonde

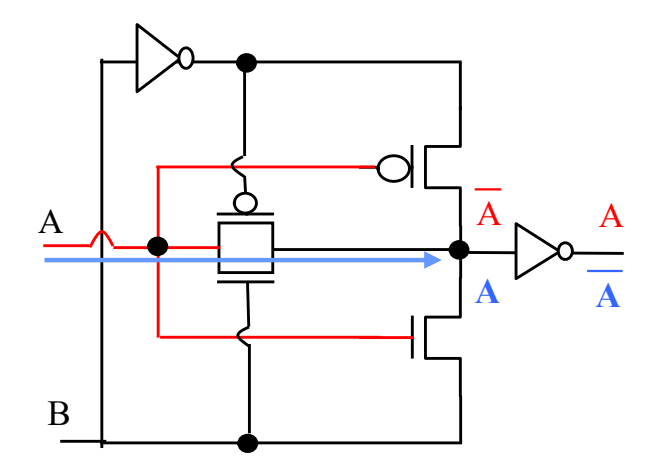
$$C_{mos,th} = \frac{C_{ox} \cdot C_{B,th}}{C_{ox} + C_{B,th}} = C_{ox} \cdot \frac{C_{B,th} / C_{ox}}{1 + C_{B,th} / C_{ox}}$$

$$C_{mos,th} = C_{ox} \cdot \frac{n-1}{n} = 7 [pF]$$

$$C_{ox} C_{D,th}$$







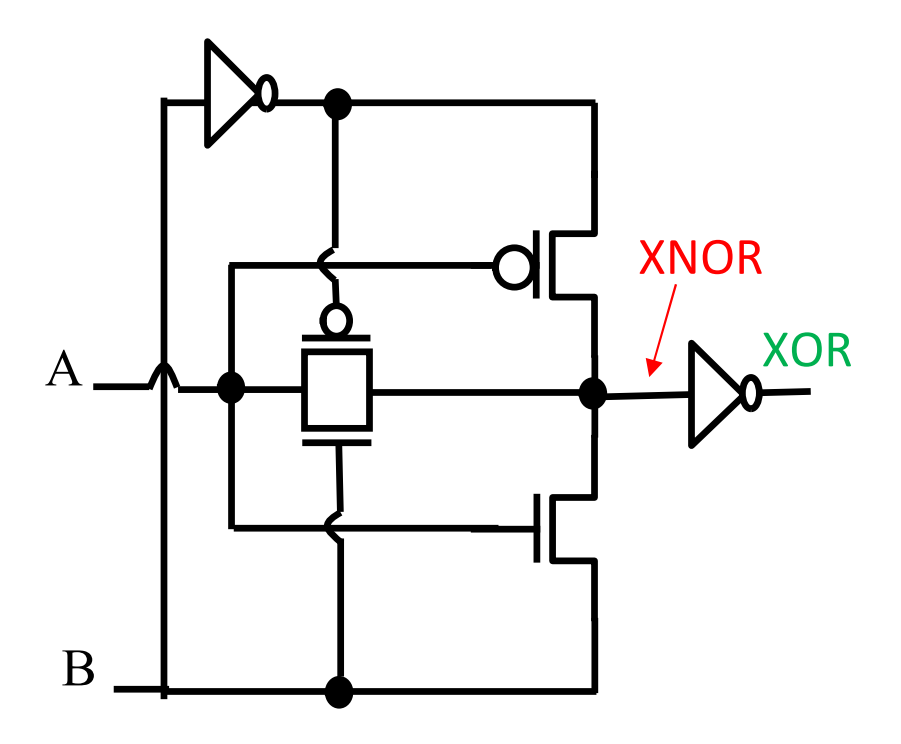
#### XOR avec 8 transistors

(voir script)

L'inverseur final sert à isoler la sortie de l'entrée!

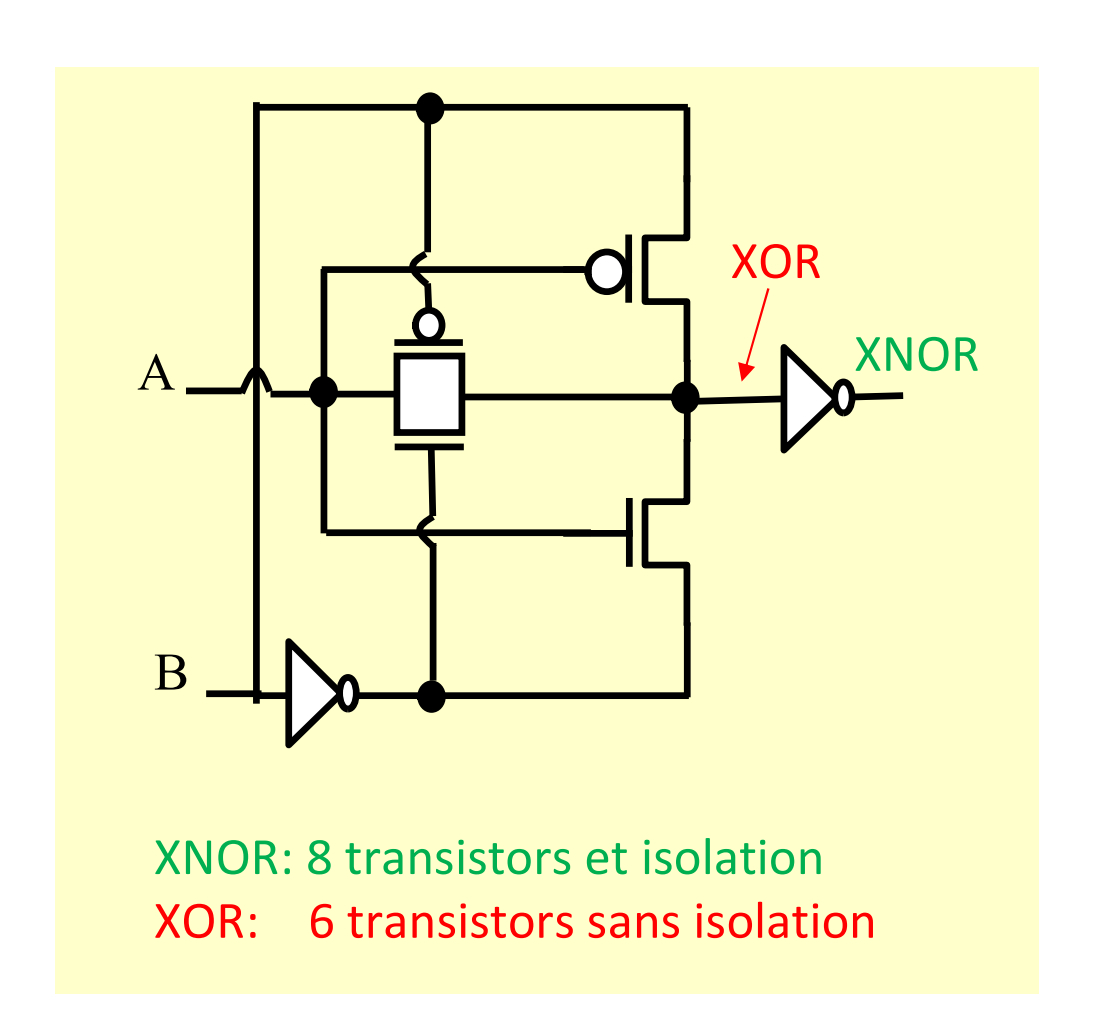
A	В		OUT
0	0	1	0
1	0	0	1
0	1	0	1
1	1	1	0

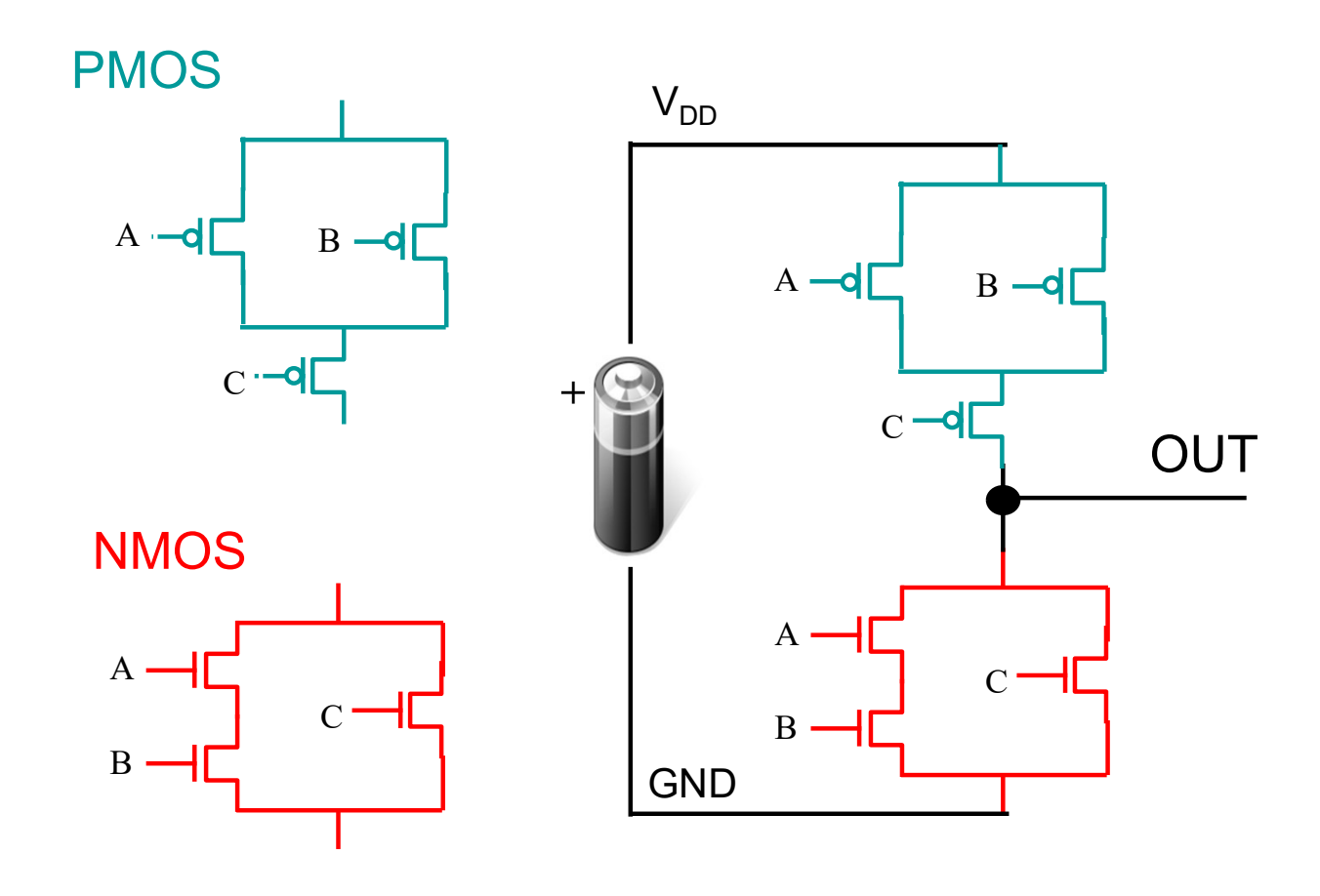
**XNOR XOR** 



XOR: 8 transistors et isolation

XNOR: 6 transistors sans isolation



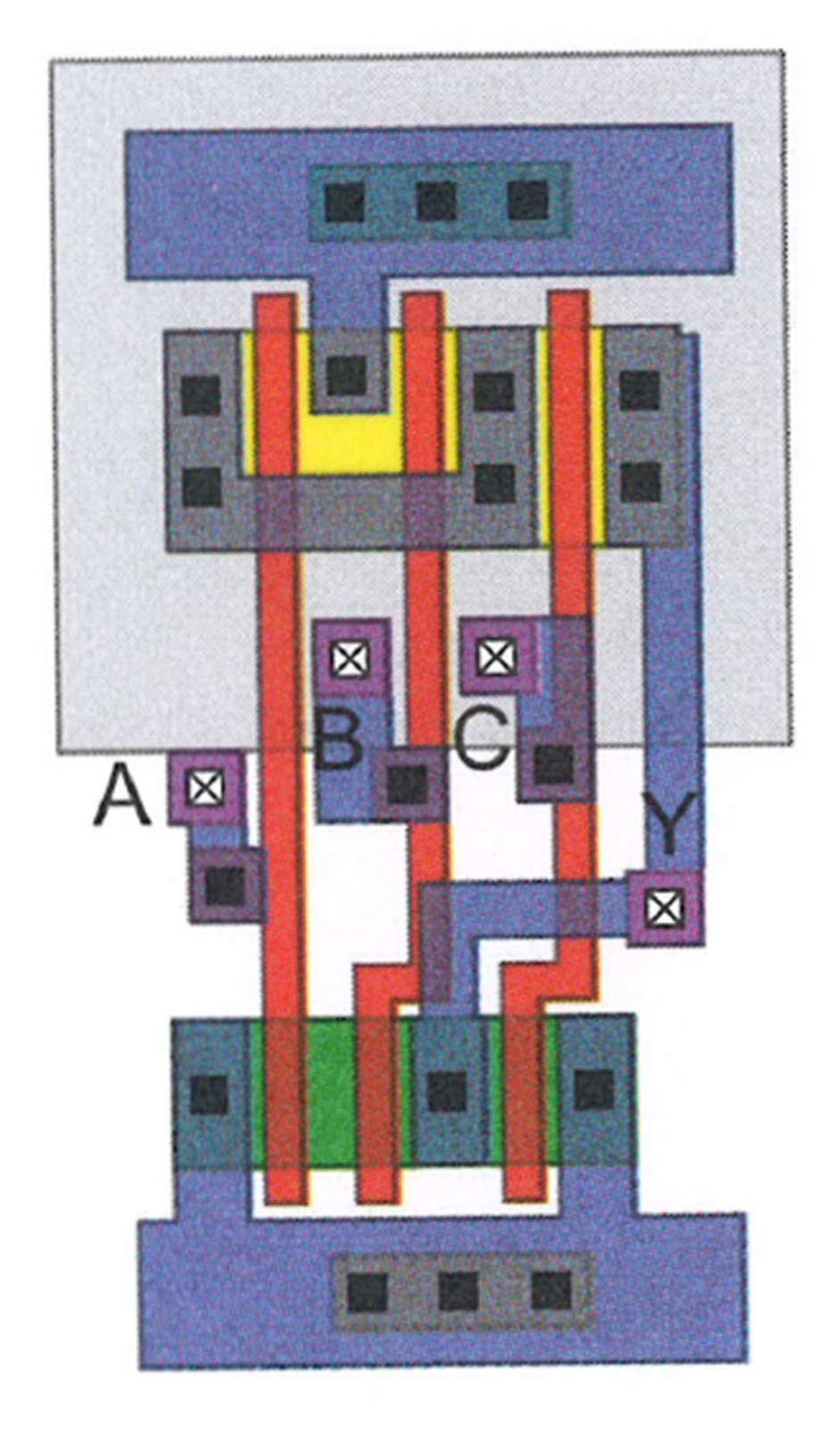


(voir script) AOI-21  $\rightarrow$  [(A et B) ou C]

### And-Or-Invert

	Α	В	С	AOI-21
	0	0	0	1
OR	0	0	1	0
	0	1	0	1
	0	1	1	0
	1	0	0	1
	1	0	1	0
AND	1	1	0	0
	1	1	1	0

# Layout AOI-21 «And-Or-Invert»



Weste/Harris, « CMOS VLSI design », Addison-Wesley